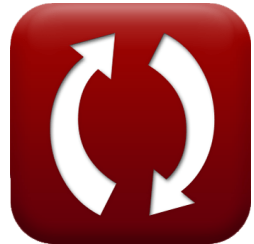


calculatoratoz.comunitsconverters.com

Composietconstructie in snelwegbruggen Formules

[Rekenmachines!](#)[Voorbeelden!](#)[Conversies!](#)

Bladwijzer calculatoratoz.com, unitsconverters.com

Breedste dekking van rekenmachines en groeiend - **30.000+ rekenmachines!**

Bereken met een andere eenheid voor elke variabele - **In ingebouwde eenheidsconversie!**

Grootste verzameling maten en eenheden - **250+ metingen!**

DEEL dit document gerust met je vrienden!

[Laat hier uw feedback achter...](#)



Lijst van 22 Composietconstructie in snelwegbruggen Formules

Composietconstructie in snelwegbruggen ↗

Buigspanningen ↗

1) Dead Load Moment gegeven Stress in Steel voor Shored Members ↗

fx $M_{D(\text{shored})} = (S_{\text{tr}} \cdot f_{\text{steel stress}}) - M_L$

[Rekenmachine openen ↗](#)

ex $14885\text{N}^*\text{mm} = (250\text{mm}^3 \cdot 60\text{N/mm}^2) - 115\text{N}^*\text{mm}$

2) Dead Load Moment gegeven Stress in Steel voor Unshored-leden ↗

fx $M_{D(\text{unshored})} = S_s \cdot \left(f_{\text{steel stress}} - \left(\frac{M_L}{S_{\text{tr}}} \right) \right)$

[Rekenmachine openen ↗](#)

ex $8931\text{N}^*\text{mm} = 150\text{mm}^3 \cdot \left(60\text{N/mm}^2 - \left(\frac{115\text{N}^*\text{mm}}{250\text{mm}^3} \right) \right)$

3) Live laadmoment gegeven Stress in Steel voor Shored-leden ↗

fx $M_L = S_{\text{tr}} \cdot f_{\text{steel stress}} - M_{D(\text{shored})}$

[Rekenmachine openen ↗](#)

ex $115\text{N}^*\text{mm} = 250\text{mm}^3 \cdot 60\text{N/mm}^2 - 14885\text{N}^*\text{mm}$



4) Live Load Moment gegeven Stress in Steel voor Unshored-leden ↗

fx $M_L = S_{tr} \cdot \left(f_{steel\ stress} - \frac{M_D(\text{unshored})}{S_s} \right)$

[Rekenmachine openen ↗](#)

ex $115\text{N}^*\text{mm} = 250\text{mm}^3 \cdot \left(60\text{N}/\text{mm}^2 - \frac{8931\text{N}^*\text{mm}}{150\text{mm}^3} \right)$

5) Sectiemodulus van getransformeerde composietsectie gegeven spanning in staal voor geschoren leden ↗

fx $S_{tr} = \frac{M_D(\text{shored}) + M_L}{f_{steel\ stress}}$

[Rekenmachine openen ↗](#)

ex $250\text{mm}^3 = \frac{14885\text{N}^*\text{mm} + 115\text{N}^*\text{mm}}{60\text{N}/\text{mm}^2}$

6) Sectiemodulus van getransformeerde composietsectie gegeven spanning in staal voor ongebonden leden ↗

fx $S_{tr} = \frac{M_L}{f_{steel\ stress} - \left(\frac{M_D(\text{unshored})}{S_s} \right)}$

[Rekenmachine openen ↗](#)

ex $250\text{mm}^3 = \frac{115\text{N}^*\text{mm}}{60\text{N}/\text{mm}^2 - \left(\frac{8931\text{N}^*\text{mm}}{150\text{mm}^3} \right)}$



7) Sectiemodulus van stalen balk gegeven spanning in staal voor niet-geschoorde leden ↗

fx $S_s = \frac{M_{D(\text{unshored})}}{f_{\text{steel stress}} - \left(\frac{M_L}{S_{tr}} \right)}$

[Rekenmachine openen ↗](#)

ex $150\text{mm}^3 = \frac{8931\text{N}^*\text{mm}}{60\text{N}/\text{mm}^2 - \left(\frac{115\text{N}^*\text{mm}}{250\text{mm}^3} \right)}$

8) Stress in Steel voor Shored-leden ↗

fx $f_{\text{steel stress}} = \frac{M_{D(\text{shored})} + M_L}{S_{tr}}$

[Rekenmachine openen ↗](#)

ex $60\text{N}/\text{mm}^2 = \frac{14885\text{N}^*\text{mm} + 115\text{N}^*\text{mm}}{250\text{mm}^3}$

9) Stress in Steel voor Unshored Members ↗

fx $f_{\text{steel stress}} = \left(\frac{M_{D(\text{unshored})}}{S_s} \right) + \left(\frac{M_L}{S_{tr}} \right)$

[Rekenmachine openen ↗](#)

ex $60\text{N}/\text{mm}^2 = \left(\frac{8931\text{N}^*\text{mm}}{150\text{mm}^3} \right) + \left(\frac{115\text{N}^*\text{mm}}{250\text{mm}^3} \right)$



10) Vermenigvuldiger voor toelaatbare spanning wanneer flensbuigspanning kleiner is dan toelaatbare spanning ↗

fx

Rekenmachine openen ↗

$$R = 1 - \frac{(1 - \alpha)^2 \cdot (\beta \cdot \psi) \cdot (3 - \psi + \psi \cdot \alpha)}{6 + \beta \cdot \psi \cdot (3 - \psi)}$$

ex $0.5 = 1 - \frac{(1 - 1.5)^2 \cdot (3 \cdot 2.0) \cdot (3 - 2.0 + 2.0 \cdot 1.5)}{6 + 3 \cdot 2.0 \cdot (3 - 2.0)}$

Afschuifbereik ↗

11) Afschuifbereik als gevolg van spanning en stootbelasting gegeven horizontaal afschuifbereik ↗

fx $V_r = \frac{S_r \cdot I_h}{Q}$

Rekenmachine openen ↗

ex $80\text{kN} = \frac{6.4\text{kN/mm} \cdot 125\text{mm}^4}{10\text{mm}^3}$

12) Horizontaal afschuifbereik bij verbinding van plaat en balk ↗

fx $S_r = \frac{V_r \cdot Q}{I_h}$

Rekenmachine openen ↗

ex $6.4\text{kN/mm} = \frac{80\text{kN} \cdot 10\text{mm}^3}{125\text{mm}^4}$



13) Statisch moment van getransformeerde sectie gegeven horizontaal afschuifbereik ↗

fx
$$Q = \frac{S_r \cdot I_h}{V_r}$$

[Rekenmachine openen ↗](#)

ex
$$10\text{mm}^3 = \frac{6.4\text{kN}/\text{mm} \cdot 125\text{mm}^4}{80\text{kN}}$$

14) Toegestane horizontale afschuiving voor gelaste bouten gedurende 2 miljoen cycli ↗

fx
$$Z_r = 7.85 \cdot (d^2)$$

[Rekenmachine openen ↗](#)

ex
$$502.4\text{kN} = 7.85 \cdot ((8\text{mm})^2)$$

15) Toegestane horizontale afschuiving voor gelaste bouten voor 100.000 cycli ↗

fx
$$Z_r = 13.0 \cdot (d^2)$$

[Rekenmachine openen ↗](#)

ex
$$832\text{kN} = 13.0 \cdot ((8\text{mm})^2)$$

16) Toegestane horizontale afschuiving voor gelaste bouten voor 500.000 cycli ↗

fx
$$Z_r = 10.6 \cdot (d^2)$$

[Rekenmachine openen ↗](#)

ex
$$678.4\text{kN} = 10.6 \cdot ((8\text{mm})^2)$$



17) Toegestane horizontale afschuiving voor gelaste nagels voor meer dan 2 miljoen cycli 

fx $Z_r = 5.5 \cdot (d^2)$

[Rekenmachine openen](#) 

ex $352\text{kN} = 5.5 \cdot ((8\text{mm})^2)$

18) Toegestane horizontale afschuiving voor individuele connector voor 100.000 cycli 

fx $Z_r = 4 \cdot w$

[Rekenmachine openen](#) 

ex $832\text{kN} = 4 \cdot 208\text{mm}$

19) Toegestane horizontale afschuiving voor individuele connector voor 2 miljoen cycli 

fx $Z_r = 2.4 \cdot w$

[Rekenmachine openen](#) 

ex $499.2\text{kN} = 2.4 \cdot 208\text{mm}$

20) Toegestane horizontale afschuiving voor individuele connector voor 500.000 cycli 

fx $Z_r = 3 \cdot w$

[Rekenmachine openen](#) 

ex $624\text{kN} = 3 \cdot 208\text{mm}$



21) Toegestane horizontale afschuiving voor individuele connector voor meer dan 2 miljoen cycli 

fx $Z_r = 2.1 \cdot w$

Rekenmachine openen 

ex $436.8 \text{ kN} = 2.1 \cdot 208 \text{ mm}$

22) Traagheidsmoment van getransformeerde sectie gegeven horizontaal afschuifbereik 

fx $I_h = \frac{Q \cdot V_r}{S_r}$

Rekenmachine openen 

ex $125 \text{ mm}^4 = \frac{10 \text{ mm}^3 \cdot 80 \text{ kN}}{6.4 \text{ kN/mm}}$



Variabelen gebruikt

- **d** Diameter noppen (*Millimeter*)
- **f_{steel stress}** Treksterkte staalspanning (*Newton/Plein Millimeter*)
- **I_h** Traagheidsmoment van getransformeerde sectie (*Millimeter ^ 4*)
- **M_{D(shored)}** Moment van dode belasting voor geschorst lid (*Newton millimeter*)
- **M_{D(unshored)}** Moment van dode belasting voor niet-geshored lid (*Newton millimeter*)
- **M_L** Live laadmoment (*Newton millimeter*)
- **Q** Statisch moment (*kubieke millimeter*)
- **R** Toegestane stressvermenigvuldiger
- **S_r** Horizontaal afschuifbereik (*Kilonewton per millimeter*)
- **S_s** Sectiemodulus van stalen balk (*kubieke millimeter*)
- **S_{tr}** Sectiemodulus van getransformeerde compositsectie (*kubieke millimeter*)
- **V_r** Afschuifbereik (*Kilonewton*)
- **w** Lengte van het kanaal (*Millimeter*)
- **Z_r** Toegestaan bereik van horizontale afschuiving (*Kilonewton*)
- **α** Verhouding tussen lijf- en flensvloeisterkte
- **β** Verhouding van web tot flensgebied
- **ψ** Afstandsverhouding van flens tot diepte



Constanten, functies, gebruikte metingen

- **Meting: Lengte** in Millimeter (mm)
Lengte Eenheidsconversie ↗
- **Meting: Volume** in kubieke millimeter (mm^3)
Volume Eenheidsconversie ↗
- **Meting: Druk** in Newton/Plein Millimeter (N/mm^2)
Druk Eenheidsconversie ↗
- **Meting: Kracht** in Kilonewton (kN)
Kracht Eenheidsconversie ↗
- **Meting: Koppel** in Newton millimeter ($\text{N} \cdot \text{mm}$)
Koppel Eenheidsconversie ↗
- **Meting: Tweede moment van gebied** in Millimeter \wedge 4 (mm^4)
Tweede moment van gebied Eenheidsconversie ↗
- **Meting: Scheerbereik** in Kilonewton per millimeter (kN/mm)
Scheerbereik Eenheidsconversie ↗



Controleer andere formulelijsten

- Aanvullende brugkolomformules Formules ↗
- Toelaatbaar spanningsontwerp voor bruggen Formules ↗
- Lager op gefreesde oppervlakken en brugbevestigingen Formules ↗
- Composietconstructie in snelwegbruggen Formules ↗
- Belastingsfactorontwerp (LFD) Formules ↗
- Aantal connectoren in bruggen Formules ↗
- Verstijvers op brugliggers Formules ↗
- Ophangkabels Formules ↗

DEEL dit document gerust met je vrienden!

PDF Beschikbaar in

[English](#) [Spanish](#) [French](#) [German](#) [Russian](#) [Italian](#) [Portuguese](#) [Polish](#) [Dutch](#)

10/23/2023 | 10:49:04 PM UTC

[Laat hier uw feedback achter...](#)

